

Nombre del Producto: Anticuerpo policlonal de conejo EGFR**Nº de Catálogo: APRab10343**

Solo para uso en investigación.

Resumen

Descripción	Anticuerpo policlonal de conejo
Huésped	Conejo
Aplicación	WB,IHC,ICC/IF,ELISA
Reactividad	Humano, Ratón, Rata
Conjugación	No conjugado
Modificación	Sin modificar
Isotipo	IgG
Clonalidad	Policlonal
Formato	Líquido
Concentración	1 mg/ml
Almacenamiento	Hacer alícuotas y almacenar a -20°C (válido por 12 meses). Evitar ciclos de congelación/descongelación.
Envío	Bolsas de hielo
Tampon	Líquido en PBS que contiene 50% de glicerol, 0,5% de proteína protectora y 0,02% de conservante de nuevo tipo N.
Purificación	Purificación por afinidad

Aplicación

Relación de Dilución	WB 1:500-1:2000,IHC 1:100-1:300,ICC/IF 1:200-1:1000,ELISA 1:5000-1:10000
Peso Molecular	175kDa

Información del Antígeno

Nombre del Gen	EGFR
Nombres Alternativos	EGFR; ERBB; ERBB1; HER1; Epidermal growth factor receptor; Proto-oncogene c-ErbB-1; Receptor tyrosine-protein kinase erbB-1
ID del Gen	1956.0
ID SwissProt	P00533
Inmunógeno	El antisuero se elaboró contra un péptido sintetizado derivado del EGFR humano. Rango de AA: 986-1035.

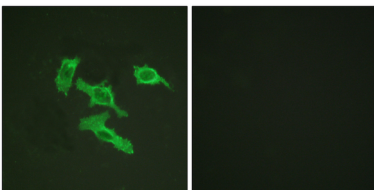
Antecedentes

La proteína codificada por este gen es una glicoproteína transmembrana perteneciente a la superfamilia de las proteínas quinasas. Esta proteína es un receptor para miembros de la familia del factor de crecimiento epidérmico. El EGFR es una proteína de superficie celular que se une al factor de crecimiento epidérmico. La unión de la proteína a un ligando induce la dimerización del receptor y la autofosforilación de la tirosina, lo que conduce a la proliferación celular. Las mutaciones en este gen se asocian con el cáncer de pulmón. [Proporcionado por RefSeq, junio de 2016], actividad catalítica: $ATP + a [proteína]-L-tirosina = ADP + a [proteína]-L-tirosina\ fosfato.$, enfermedad: Los defectos en el EGFR se asocian con el cáncer de pulmón [MIM:211980]., función: La isoforma 2/isoforma truncada puede actuar como antagonista., función: Receptor del EGF, pero también de otros miembros de la familia del EGF, como el TGF-alfa, la anfiregulina, la betacelulina, el factor de crecimiento similar al EGF que se une a la heparina, GP30 y el factor de crecimiento del virus vaccinia. Participa en el control del crecimiento y la diferenciación celular. Fosforila MUC1 en células de cáncer de mama y aumenta la interacción de MUC1 con C-SRC y CTNNB1/beta-catenina.,Varios:La unión de EGF al receptor conduce a la dimerización, internalización del complejo EGF-receptor, inducción de la actividad de la tirosina quinasa, estimulación de la síntesis de ADN celular y proliferación celular.,Información en línea:Entrada EGFR,PTM:Monoubiquitinado y poliubiquitinado tras la estimulación con EGF; que no afecta la actividad de la tirosina quinasa ni la capacidad de señalización, pero puede desempeñar un papel en la orientación lisosomal. La unión de la poliubiquitina se produce principalmente a través de 'Lys-63', pero también se produce a través de 'Lys-48', 'Lys-11' y 'Lys-29'. PTM: La fosforilación de Ser-695 es parcial y solo ocurre si Thr-693 está fosforilada. Similitud: Pertenece a la superfamilia de las proteínas quinasas. Familia de las proteínas quinasas Tyr. Subfamilia del receptor de EGF. Similitud: Contiene un dominio de proteína quinasa. Subunidad: Se une a RIPK1. CBL interactúa con la cola C-terminal autofosforilada del receptor de EGF. Forma parte de un complejo con ERBB2 y PIK3C2A o PIK3C2B. La forma autofosforilada interactúa con PIK3C2B, posiblemente de forma indirecta. Interactúa con PELP1. Se une a MUC1. Especificidad tisular: Se expresa de forma ubicua. La isoforma 2 también se expresa en cánceres de ovario.

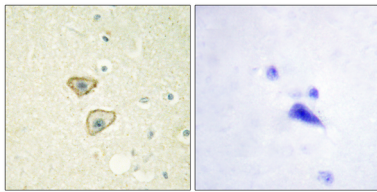
Área de Investigación

MAPK_ERK_Crecimiento;MAPK_G_Proteína;ErbB_HER;Calcio;Interacción citocina-receptor de citocina;Endocitosis;Formación del eje dorsoventral;Adhesión focal;Unión adherente;Unión en hendidura;Regula la actina y el citoesqueleto;GnRH;Señalización de células epiteliales en la infección por Helicobacter pylori;Vías en el cáncer;Cáncer colorrectal;Cáncer de páncreas;Cáncer de endometrio;Glioma;Cáncer de próstata;Melanoma;Cáncer de vejiga;Cáncer de pulmón de células no pequeñas;

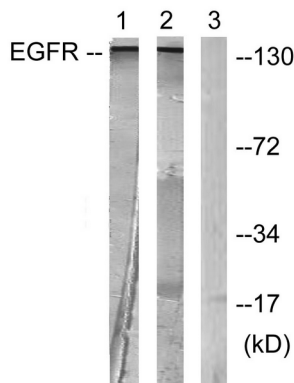
Datos de Imagen



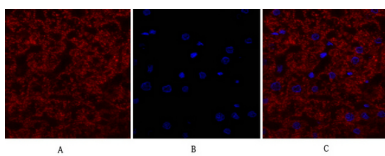
Análisis de inmunofluorescencia de células HepG2 con anticuerpo anti-EGFR. La imagen de la derecha muestra el péptido sintetizado.



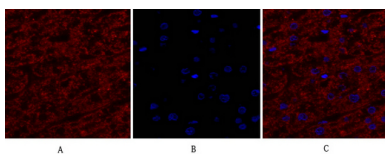
Análisis inmunohistoquímico de tejido cerebral humano incluido en parafina, utilizando el anticuerpo anti-EGFR. La imagen de la derecha muestra el péptido sintetizado.



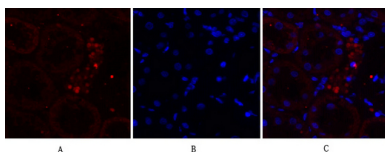
Análisis de inmunotransferencia de lisados de células HUVEC tratadas con suero al 20 % durante 30 minutos, utilizando el anticuerpo anti-EGFR. El carril derecho está bloqueado con el péptido sintetizado.



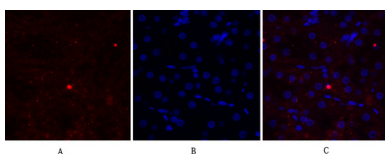
Análisis de inmunofluorescencia de tejido hepático humano. 1. El anticuerpo policlonal EGFR (rojo) se diluyó a 1:200 (4 °C, durante la noche). 2. El anticuerpo secundario marcado con Cy3 se diluyó a 1:300 (temperatura ambiente, 50 min). 3. Imagen B: DAPI (azul) 10 min. Imagen A: Objetivo. Imagen B: DAPI. Imagen C: Combinación de A+B.



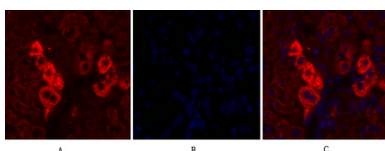
Análisis de inmunofluorescencia de tejido hepático humano. 1. El anticuerpo policlonal EGFR (rojo) se diluyó a 1:200 (4 °C, durante la noche). 2. El anticuerpo secundario marcado con Cy3 se diluyó a 1:300 (temperatura ambiente, 50 min). 3. Imagen B: DAPI (azul) 10 min. Imagen A: Objetivo. Imagen B: DAPI. Imagen C: Combinación de A+B.



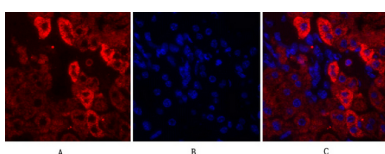
Análisis de inmunofluorescencia de tejido renal de rata. 1. El anticuerpo policlonal EGFR (rojo) se diluyó a 1:200 (4 °C, durante la noche). 2. El anticuerpo secundario marcado con Cy3 se diluyó a 1:300 (temperatura ambiente, 50 min). 3. Imagen B: DAPI (azul) 10 min. Imagen A: Objetivo. Imagen B: DAPI. Imagen C: Fusión de A+B.



Análisis de inmunofluorescencia de tejido renal de rata. 1. El anticuerpo policlonal EGFR (rojo) se diluyó a 1:200 (4 °C, durante la noche). 2. El anticuerpo secundario marcado con Cy3 se diluyó a 1:300 (temperatura ambiente, 50 min). 3. Imagen B: DAPI (azul) 10 min. Imagen A: Objetivo. Imagen B: DAPI. Imagen C: Fusión de A+B.



Análisis de inmunofluorescencia de tejido hepático de ratón. 1. El anticuerpo policlonal EGFR (rojo) se diluyó a 1:200 (4 °C, durante la noche). 2. El anticuerpo secundario marcado con Cy3 se diluyó a 1:300 (temperatura ambiente, 50 min). 3. Imagen B: DAPI (azul) 10 min. Imagen A: Objetivo. Imagen B: DAPI. Imagen C: Fusión de A+B.



Análisis de inmunofluorescencia de tejido hepático de ratón. 1. El anticuerpo policlonal EGFR (rojo) se diluyó a 1:200 (4 °C, durante la noche). 2. El anticuerpo secundario marcado con Cy3 se diluyó a 1:300 (temperatura ambiente, 50 min). 3. Imagen B: DAPI (azul) 10 min. Imagen A: Objetivo. Imagen B: DAPI. Imagen C: Fusión de A+B.